

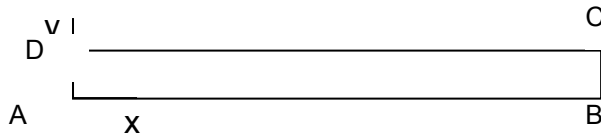
WTNA102 - Diffusion d'air dissous (axi)

Résumé :

On considère ici un problème à température et saturation constantes. Par des conditions aux limites appropriées on impose une pression d'eau et une pression de vapeur constantes. Une pression de gaz est imposée sur un bord du domaine (flux nuls de l'autre côté). Seules les pressions d'air sec et d'air dissous reliées par la loi de Henry évoluent. Ce problème se ramène en une équation pour la pression d'air sec de type « équation de la chaleur ». La solution de référence sera alors un calcul thermique de Code_Aster.

1 Problème de référence

1.1 Géométrie



Coordonnées des points (m) :

A	0	0	C	1	0,5
B	1	0	D	0	0,5

1.2 Propriétés du matériau

On ne donne ici que les propriétés dont la solution dépend, sachant que le fichier de commandes contient d'autres données matériau (modules d'élasticité, conductivité thermique ...) qui finalement ne jouent aucun rôle dans la solution du problème traité.

Eau liquide	Masse volumique ($kg.m^{-3}$)	10^3
	Chaleur massique à pression constante ($J.K^{-1}$)	0
	Viscosité dynamique de l'eau liquide ($Pa.s$)	0.001
	coefficient de dilatation thermique du liquide (K^{-1})	0
	Perméabilité relative à l'eau	$kr_w(S)=0.5$
Vapeur	Chaleur massique ($J.K^{-1}$)	0
	Masse molaire($kg.mol^{-1}$)	0.01
Gaz	Chaleur massique ($J.K^{-1}$)	0
	Masse molaire($kg.mol^{-1}$)	0.01
	Perméabilité relative au gaz	$kr_{gz}(S)=0.5$
	Viscosité du gaz ($kg.m^{-1}.s^{-1}$)	0.001
Air dissous	Chaleur massique ($J.K^{-1}$)	0
	Constante de Henry ($Pa.m^3.mol^{-1}$)	50000
Etat initial	Porosité	1
	Température (K)	300
	Pression de gaz (Pa)	$1.01 \cdot 10^5$
	Pression de vapeur (Pa)	1000
	Pression capillaire (Pa)	10^6
	Saturation initiale en liquide	0.4
Constantes	Constante des gaz parfaits	8.32

Coefficients homogénéisés	Masse volumique homogénéisée ($kg.m^{-3}$)	2200
	Isotherme de sorption	$S(p_c)=0.4$
	Coefficient de Biot	0
	Fick Vapeur ($m^2.s^{-1}$)	0
	Fick air dissous ($m^2.s^{-1}$)	$FA=6^{-10}$
	Perméabilité intrinsèque (m^2)	1^{-19}

1.3 Conditions aux limites et chargements

Sur l'ensemble du domaine, on veut :

$$\begin{aligned}
 p_w &= cte = p_w^0 \\
 \frac{1}{K_w} &= 0 \Rightarrow \rho_w = cte = \rho_w^0 \\
 p_{vp} &= cte = p_{vp}^0 \\
 F_{vp} &= 0 \\
 S(p_c) &= cte = S_0 \\
 T &= cte = T_0 \\
 \phi &= 1 \\
 M_{as}^{ol} &= M_{ad}^{ol} = M_{vp}^{ol}
 \end{aligned}$$

Sur tous les bords : Flux hydrauliques et thermiques nuls.

On va maintenant linéariser p_{vp} en fonction de p_w .

Écriture de p_{vp} fonction linéaire de p_w :

La section 4.2.3 du document de référence Code_Aster [R7.01.11] nous donne la relation :

$$\frac{dp_{vp}}{p_{vp}} = \frac{M_{vp}^{ol}}{RT} \frac{dp_w}{\rho_w} . \quad \text{Si on linéarise cette expression on obtient :}$$

$$p_{vp} = \frac{p_{vp}^0}{RT} \frac{M_{vp}^{ol}}{\rho_w^0} p_w + \left(p_{vp}^0 - \frac{p_{vp}^0}{RT} \frac{M_{vp}^{ol}}{\rho_w^0} p_w^0 \right) \text{ que l'on peut écrire sous la forme :}$$

$$p_{vp} = A p_w + B \quad \text{éq 1.3-1}$$

$$\text{avec } A = \frac{p_{vp}^0}{RT} \frac{M_{vp}^{ol}}{\rho_w^0} \text{ et } B = p_{vp}^0 - \frac{p_{vp}^0}{RT} \frac{M_{vp}^{ol}}{\rho_w^0} p_w^0$$

Sur le bord AB : $p_{vp} = A p_w + B$

$$p_{gz} = 115000 \text{ et } p_c = 10^6$$

2 Solution de référence

2.1 Méthode de calcul

2.1.1 Calcul de la conservation de la masse d'air

La conservation de la masse de gaz s'écrit :

$$\frac{dm_{air}}{dt} + \text{div}(\mathbf{M}_{as} + \mathbf{M}_{ad}) \quad \text{éq 2.1.1-1}$$

On écrit que la masse totale d'eau et la masse totale d'air sont conservée (car il n'y a pas de flux d'eau ni de gaz au bord) et on obtient :

$$m_{air} = m_{as} + m_{ad} = S_0(\rho_{ad} - \rho_{ad}^0) + (1 - S_0)(\rho_{as} - \rho_{as}^0)$$

donc

$$d(m_{as} + m_{ad}) = S_0 d\rho_{ad} + (1 - S_0) d\rho_{as} \quad \text{éq 2.1.1-2}$$

$$d\rho_{as} = \frac{M_{as}^{ol}}{RT} dp_{as} \quad \text{et} \quad d\rho_{ad} = \frac{M_{ad}^{ol}}{K_H} dp_{as}$$

$$\frac{dm_{air}}{dt} = \text{div} \left(\frac{M_{ad}^{ol}}{K_H} S_0 + (1 - S_0) \frac{M_{as}^{ol}}{RT} dp_{as} \right)$$

Calcul des vitesses :

$$\frac{\mathbf{M}_{as}}{\rho_{as}} = \lambda_{gz} (-\nabla p_{as}) \quad \text{éq 2.1.1-3}$$

puisque $F_{vp} = 0$ et $\nabla p_{vp} = 0$

et

$$\mathbf{M}_{ad} = \rho_{ad} \lambda_{lq} (-\nabla p_{lq}) - F_{ad} \nabla C_{ad} \quad \text{avec} \quad C_{ad} = \rho_{ad}$$

Comme $\nabla p_{lq} = \nabla p_w + \nabla p_{ad} = \nabla p_{ad} = \frac{RT}{K_H} \nabla p_{as}$

$$\mathbf{M}_{ad} = \rho_{ad} \lambda_{lq} \frac{RT}{K_H} (-\nabla p_{as}) - \frac{M_{ad}^{ol}}{K_H} F_{ad} \nabla p_{as}$$

[éq 2.1.1-1] peut alors se simplifier sous la forme suivante :

$$C \frac{dp_{as}}{dt} = L \text{div}(\nabla p_{as})$$

avec

$$C = \frac{M_{ad}^{ol}}{K_H} S_0 + (1 - S_0) \frac{M_{as}^{ol}}{RT}$$

et

$$L = \rho_{as}^0 \lambda_{gz} + \frac{RT}{K_H} \rho_{ad}^0 \lambda_{lq} + \frac{M_{as}^{ol}}{K_H} F_{ad}$$

Équation de la chaleur dont on connaît le résultat.

2.2 Résultats de référence

Avec les valeurs numériques précédentes, on trouve :

$$p_{as} = 10^5 \Rightarrow p_{ad}^0 = \frac{RT}{K_H} p_{as}^0 = 4992$$
$$\rho_{as}^0 = \frac{M_{as}^{ol}}{RT} p_{as}^0 = 0.4 \text{ et } \rho_{ad}^0 = \frac{M_{ad}^{ol}}{RT} p_{ad}^0 = 0.02$$

$$\rho_{vp}^0 = \rho_{vp} = 4.10^{-3}$$

Les constantes de l'équation de la chaleur sont alors :

$$C = 2.4810^{-6}$$
$$L = 1.410^{-16}$$

2.3 Incertitudes

Les incertitudes sont assez grandes parce-que la solution analytique est une solution approchée du fait de la linéarisation des équations.

3 Modélisation A

3.1 Caractéristiques de la modélisation A

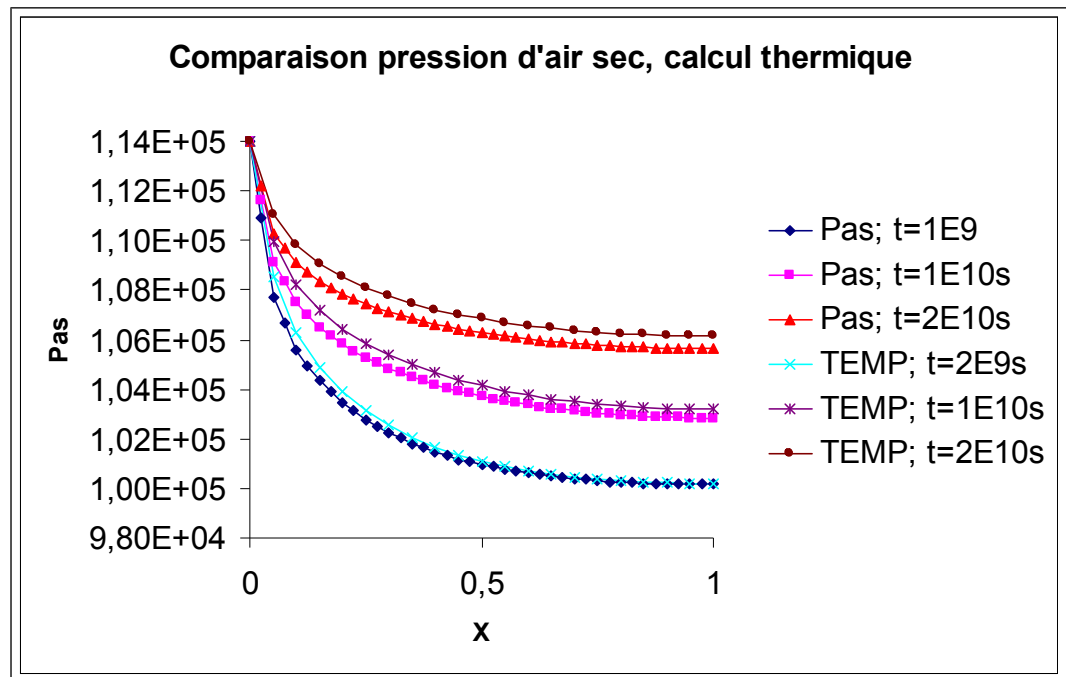
Modélisation AXIS_HH2D. 20 éléments QUAD8.

Discretisation en temps : 100 pas de temps de $5E7s$ chacun.

3.2 Grandeurs testées et résultats

X (m)	Temps (s)	PRE2 Aster	PRE2 calcul thermique	Tolérance (%)
0.2	$3 \cdot 10^9$	$8.1 \cdot 10^3$	$7.9 \cdot 10^3$	10.0
0.2	$5 \cdot 10^9$	$9.7 \cdot 10^3$	$9.5 \cdot 10^3$	10.0

Les valeurs obtenues par Code_Aster sont testées en non régression à une tolérance de 0.01% .



4 Modélisation B

4.1 Caractéristiques de la modélisation B

Modélisation `AXIS_HH2S`. 20 éléments `QUAD8`.

Discrétisation en temps : 100 pas de temps de $5 \cdot 10^7$ s chacun.

4.2 Grandeurs testées et résultats

X (m)	Temps (s)	<i>PRE2</i> Aster	<i>PRE2</i> calcul thermique	Tolérance (%)
0.2	$3 \cdot 10^9$	$8.1 \cdot 10^3$	$7.9 \cdot 10^3$	10.0
0.2	$5 \cdot 10^9$	$9.7 \cdot 10^3$	$9.5 \cdot 10^3$	10.0

Les valeurs obtenues par Code_Aster sont testées en non régression à une tolérance de 0.01 % .

5 Modélisation C

5.1 Caractéristiques de la modélisation C

Modélisation 3D_HH2S. 200 éléments HEXA20. Ce test est constitué d'un barreau et ne peut donc pas avoir la même solution analytique que précédemment. Elle est obtenue de la même manière par un calcul thermique.

Discrétisation en temps : 100 pas de temps de 5E7s chacun.

5.2 Grandeurs testées et résultats

$X (m)$	Temps (s)	PRE2 Aster	PRE2 calcul thermique	Erreur relative
0.2	$3 \cdot 10^9$	14682	14617	0.45 %
0.2	$5 \cdot 10^9$	14953	14935	0.12 %

6 Modélisation D

6.1 Caractéristiques de la modélisation D

Modélisation 3D_HH2D. 200 éléments HEXA20.

Discrétisation en temps : 100 pas de temps de $5E7s$ chacun.

6.2 Grandeurs testées et résultats

$X (m)$	Temps (s)	PRE2 Aster	PRE2 calcul thermique	Erreur relative
0.2	$3 \cdot 10^9$	14687	14617	0.48 %
0.2	$5 \cdot 10^9$	14954	14935	0.13 %

7 Modélisation E

7.1 Caractéristiques de la modélisation E

Modélisation axisymétrique THHM2D avec températures et déplacements bloqués. 20 éléments QUAD8.

Discrétisation en temps : 100 pas de temps de $5E7s$ chacun.

7.2 Grandeurs testées et résultats

$X (m)$	Temps (s)	PRE2 Aster	PRE2 calcul thermique	Tolérance
0.2	$3 \cdot 10^9$	7944	7900	1%
0.2	$5 \cdot 10^9$	9557	9500	1%

Les valeurs obtenues par Code_Aster sont testées en non régression à une tolérance de 0.01%.

8 Modélisation F

8.1 Caractéristiques de la modélisation F

Modélisation axisymétrique THHM2S avec températures et déplacements bloqués. 20 éléments QUAD8.

Discrétisation en temps : 100 pas de temps de $5E7s$ chacun.

8.2 Grandeurs testées et résultats

$X (m)$	Temps (s)	PRE2 Aster	PRE2 calcul thermique	Tolérance
0.2	$3 \cdot 10^9$	7954	7900	1 %
0.2	$5 \cdot 10^9$	9566	9500	1 %

Les valeurs obtenues par Code_Aster sont testées en non régression à une tolérance de 0.01 % .

9 Modélisation G

9.1 Caractéristiques de la modélisation G

Modélisation axisymétrique THH2D avec températures bloquées. 20 éléments QUAD8.

Discretisation en temps : 100 pas de temps de $5E7s$ chacun.

9.2 Grandeurs testées et résultats

$X (m)$	Temps (s)	PRE2 Aster	PRE2 calcul thermique	Tolérance
0.2	$3 \cdot 10^9$	7945	7900	10%
0.2	$5 \cdot 10^9$	9557	9500	10%

Les valeurs obtenues par Code_Aster sont testées en non régression à une tolérance de 0.01% .

10 Modélisation H

10.1 Caractéristiques de la modélisation H

Modélisation axisymétrique THH2S avec températures bloquées. 20 éléments QUAD8.

Discrétisation en temps : 100 pas de temps de 5E7s chacun.

10.2 Grandeurs testées et résultats

$X (m)$	Temps (s)	PRE2 Aster	PRE2 calcul thermique	Tolérance
0.2	$3 \cdot 10^9$	7944	7900	10%
0.2	$5 \cdot 10^9$	9560	9500	10%

Les valeurs obtenues par Code_Aster sont testées en non régression à une tolérance de 0.01%
.Modélisation H

11 Modélisation I

11.1 Caractéristiques de la modélisation I

Modélisation axisymétrique HH2MD avec déplacements bloqués. 20 éléments QUAD8.

Discretisation en temps : 100 pas de temps de $5E7s$ chacun.

11.2 Grandeurs testées et résultats

$X (m)$	Temps (s)	PRE2 Aster	PRE2 calcul thermique	Tolérance
0.2	$3 \cdot 10^9$	7944	7900	1%
0.2	$5 \cdot 10^9$	9557	9500	1%

Les valeurs obtenues par Code_Aster sont testées en non régression à une tolérance de 0.01%.

12 Modélisation J

12.1 Caractéristiques de la modélisation J

Modélisation axisymétrique HH2MD avec déplacements bloqués. 20 éléments QUAD8.

Discrétisation en temps : 100 pas de temps de $5E7s$ chacun.

12.2 Grandeurs testées et résultats

$X (m)$	Temps (s)	PRE2 Aster	PRE2 calcul thermique	Tolérance
0.2	$3 \cdot 10^9$	7948	7900	1 %
0.2	$5 \cdot 10^9$	9560	9500	1 %

Les valeurs obtenues par Code_Aster sont testées en non régression à une tolérance de 0.01 % .

13 Synthèse des résultats

Les résultats de Code_Aster sont en très bon accord avec la solution analytique.